

C - Q - H

4390 1949

CH<sub>3</sub>CH<sub>2</sub>D, CH<sub>2</sub>D·CH<sub>2</sub>D (non. copysigna)

de Hauphinne M.

J. chim. phys., 1949, 46, 98-102

(Int. Coll. Raman Effect - Bordeaux, 1948)

The determination of the symmetry  
of the ethane molecule and of the  
brominated derivatives of ethane.

W

CA, 1950, 44, 9258-f 3

$C_2D_5K$  ( $v_i$ )

IV 4409

1950

van Riet R., de Kempistinne M.

Ann. soc. sci. Bruxelles, Sér I, 1950, 64, 177-87

The Raman spectrum of the molecule

$CD_3 - CD_2K$

2

c.a., 1951, 10055g

W

IV-1821

1953

$\text{CH}_3\text{NO}_2$ ,  $\text{C}_2\text{H}_5\text{NO}_2$ ,  $\text{CH}_2\text{D}$  (I, D)

d, or L., Collin J.

Bull. soc. roy. sci. Liége, 1953, 22,  
285-304

Behavior of aliphatic nitrites

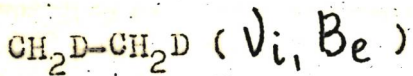
...

J



IV-4404  
add4

1953



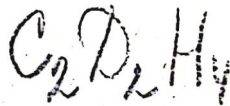
Riet R., Courtoy C., Hemptinne M.

Ann. Soc. scient. Bruxelles, 1953,

67, 1, N 2, 105-121

Spectre infrarouge ...

J



IV - 4404

1953

44097

CD<sub>2</sub>H-CD<sub>2</sub>H (Vi, Be)

Van Riet R., Courtoy C.,  
Hemptinne L. de

Ann. Soc. scient. Bruxelles, 1953, ser. 1,  
67, N 3, 269-308

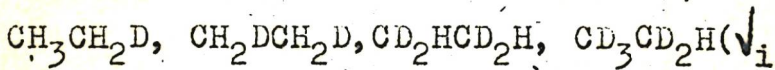
Spectre infrarouge ...

J

CD<sub>2</sub>H<sub>2</sub>

IV-4395  
4395

1953



van Riet R., de Hemptinne M.

Bull. classe sci., Acad. roy. Belg.

1953, 39, 273-84

Infrared and Raman ...

J

W-975

1954

 $\text{H}_2\text{CO} (\nu_i, A'' - B'', \angle \text{HCD}, r_{\text{C-H}}, r_{\text{C-O}})$ 

Davidson D.W., Stoicheff B.P., Bernstein H.Y.

J. Chem. Phys., 1954, 22, N2, 289-294

(aure.)

The infrared and Raman spectra  
of formaldehyde-d<sub>1</sub> vapor.

PPRL, 1954, N17, 39166

10

2

1954

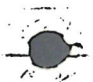
7865 - V

$\text{CH}_3\text{C}\equiv\text{CD}$  (      B,      D)

Grisenthwaite R.J., Thompson H.W.  
Trans. Faraday Soc., 1954, 50, N 3,  
212-217

The infrared spectrum of ...

J



$\text{C}_3\text{D}\text{H}_3$

$CD_3 - CD_2 H$  (B, it, c)

IV 4408 | 1954

Riet R., van Courtay C., Kemptonne M. de.

Ann. Soc. scient. Bruxelles, 1954, 6, N 1-2,  
108 - 118 (ppauy)

Contribution expérimentale à l'étude la molécule  
 $CD_3 - CD_2 H$ .

PXKXu 1955, 11124

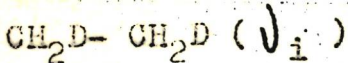


W

2

N-4405

1954

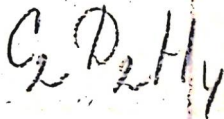


Riet R.van, Hemptinne M.de

Ann. Soc. scient. Bruxelles, 1954,  
68, N 1-2, 92-107

Les vibrations ...

J.



IV-738

1956

$H_2CO$

$DCHO$

$D_2CO$

Brand J.C.D.,

J.Chem.Soc., 1956, Apr., 858-872  
(англ.)

Электронный спектр ...

$CDHO$

Ex., 1957, N 10,

33537

10

948-II

$\text{CH}_3, \text{CD}_3, \underline{\text{CH}_2\text{D}}, \text{CHD}_2$  ( $J_i, J$ )

1956

Herzberg G., Shoosmith J.,

Canad. J. Phys., 1956, 34, N 5,  
523-525 (ann.)

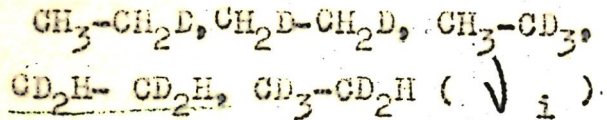
Ex., 1957, N 1, 84

CDH<sub>2</sub>

10

1954

4393 - IV



Van Riet R.

Ann. Soc. scient. Bruxelles, 1957,  
Ser., 1, 71, N 2, 102-127

Спектры комбинационного ...

J

C<sub>2</sub>D<sub>4</sub>H<sub>2</sub>

IV-753  
HDCO ( V<sub>i</sub>, A, B, C, J, γ<sub>x-y</sub>, LXYZ ) 1960

Oka Takeshi, Hirakawa Hiromasa,  
Shimoda Koichi

J, Phys. Soc. Japan, 1960, 15, N 12,  
2265-2273, 2274-2279 ( амер. )

Microwave spectrum of ...

PX., 1962, 36132



CDHO

10

1962

7751-11

H<sub>2</sub>CO, HDCO ( mol.konst.)

Freeman D.E., Hunt G.R.

Austral.J.Chem., 1962, 15, N 4,  
696-702

A force field for ...

J

CDHO

DHCO

) 1963

Kewley R., Sastri V.L.N., Winnewisser M.  
J. Molc. Spectrocs. } 1963, 10, N 63  
418-441 (

The millimeter wave ...

P ., 1964, 3D219

CDHO

1964

✓ 9 Д449. ЭПР-исследования внутренних вращений в радикалах. Fessenden Richard W. ESR studies of internal rotation in radicals. «J. chim. phys. et phys.-chim. biol.», 1964, 61, № 11—12, 1570—1575. Discuss., 1575 (англ.)

Представлены подробные измерения сверхтонких расщеплений ЭПР спектра в пропиловом, изобутиловом, 3-бутиниловом и  $\text{CH}_2\text{CD}_2$  радикалах. Для радикалов этого типа зависимость константы связи от угла  $\theta$  между выделенным  $\beta$  протоном и осью  $p$ -орбиты, содержащей неспаренный электрон, свидетельствует о добавочном расщеплении по сравнению с этиловым радикалом, возникающем от анизотропного усреднения по вращениям вокруг связи между  $\alpha$  и  $\beta$  карбонами. Температурная зависимость согласуется с ожидаемой. Предложено рассмотрение, при котором угловая зависимость сначала

СИД СД  
2 2

9.1965.90

усреднена по собственным вращательным ф-циям (в случае двух барьеров по внутреннему вращению), а затем по больцмановскому распределению по различным вращательным уровням. Наблюданное расщепление согласуется с тем положением, что для первых трех радикалов должен быть принят барьер в 300 кал/моль, а для последнего 90 кал/моль. Проведены попытки связать эти барьеры с найденными в других молекулах. Отмечен изотопич. эффект в  $\text{CHD}_2\text{CD}_2$  и в 7-дейтероциклогептатриене.

Р. Юльметьев

1964

 $\text{CT}_4$  $\text{CH}_3\text{T}$  $\text{CD}_3\text{T}$  $\text{CH}_2\text{T}_2$  $\text{CD}_2\text{T}_2$  $\text{CH}\text{T}_3$  $\text{CD}\text{T}_3$ 

▼ 2 Д73. Фундаментальные частоты дейтеро- и тритиевозамещенных тетраэдрических гидридов. Ковальчук Д. С., Морозов В. П. Фундаментальні частоти дейтеро-та тритіевозаміщених тетраедричних гідридів. «Укр. фіз. ж.», 1964, 9, № 8, 876—880 (укр.; рез. русск., англ.)

Рассчитаны фундаментальные частоты молекул типа  $\text{RH}_4$ ,  $\text{RD}_3\text{T}$ ,  $\text{RD}_2\text{T}_2$ ,  $\text{RHT}_3$ ,  $\text{RDT}_3$ , где  $\text{R}=\text{C}$ , Si, Ge. Силовые постоянные взяты из расчетов молекулярных и спектроскопич. данных для молекул  $\text{RH}_4$  и  $\text{RD}_4$ . Ангармоничность колебаний учитывалась улучшенным методом спектроскопич. масс. Сравнение опытных (для случая  $\text{R}=\text{C}$ ) и вычисленных частот приводят к удовлетворительному согласию. Методом вариаций изучено влияние исходных параметров на значения фундаментальных частот. Показано, что применение потенц. ф-ции с неполным набором силовых постоянных может вызвать отклонение отдельных частот в пределах  $25 \text{ см}^{-1}$ .

x. 1965.5



IV-9840

~~9890~~ C<sub>2</sub>H<sub>3</sub>D<sub>3</sub>

1964

C<sub>2</sub>H<sub>6</sub>; C<sub>2</sub><sup>D</sup><sub>6</sub> (1:1)

Tejada S.B.

Dissertation Abstr., 1964, 25(2),  
876

Infrared spectra of some...

J

II-9108

~~REF ID~~

HDO, HDS, CH<sub>2</sub>O, CHDO ( $\bar{\epsilon}_{A-Y}$ ) 1964

Thoddeus P., Arisher L.C., Loubeer J.H.L.  
J. Chem. Phys., 1964, 40, N 2,  
257-273 (*asens*)

Hyperfine structure in the  
microwave spectrum of HDO, HDS, CH<sub>2</sub>O and  
...

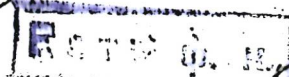
PL., 1964, 18597

10

CH<sub>3</sub>D<sub>3</sub> (m. w.) XIV 2953 1969

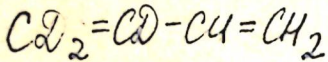
Blass W. E., Edwards T. H.,  
J. Molec. Spectrosc., 1964,  
24, N1, 116-21

(sp)



10

PCP/1968

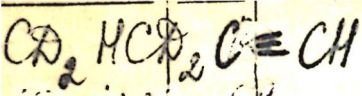


1967

57416c A new method for the calculation of molecular vibrations. 1,3-Butadiene-1,1,2-d<sub>3</sub>. Yu. N. Panchenko, G. S. Koptev, Tran Suan Hoan, and Yu. A. Pentin. *Vestn. Mosk. Univ., Ser. II* 22(2), 20-2(1967)(Russ). The frequencies of normal vibrations were calcd. for the CD<sub>2</sub>:CDCH:CH<sub>2</sub> mol. with the force consts. matrix found math. exactly from the exptl. frequencies of vibrations of the CH<sub>2</sub>:CHCH:CH<sub>2</sub> mol. The calcd. frequencies agree with the exptl. ones; the use of the spectroscopic mass of the H atoms does not improve the results.

D. Papousek

C.A. 1967- 12-12



1969

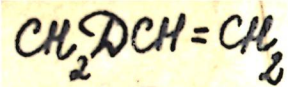
26650y Infrared absorption spectroscopy study (2900-3100  $\text{cm}^{-1}$  region) of the vibration and vibration-rotation spectra of the compounds  $\text{CD}_2\text{HCD}_2\text{X}$ , X = C:CH, Br, Cl. Saur, Odette; Lavalley, Jean C.; Romanet, Rene (Lab. Chim. Gen., Fac. Sci., Caen, Fr.). *C. R. Acad. Sci., Ser. B* 1969, 269(17), 816-19 (Fr). The structure of the rotational envelope of the strong band due to the  $\text{CHD}_2$  group of the title compds. was analyzed. Two bands are obsd.; a type-A band centered at  $2960 \text{ cm}^{-1}$  and a type-C band centered at  $2966 \text{ cm}^{-1}$ . The spectra were interpreted in terms of 2 rotational isomers. John W. Ward

M.U:

REK - ceweksp

CIA

950.72.6



1970

C<sub>2</sub>H<sub>5</sub>D

4.

и.и.

3) 1 Б86. Внутреннее вращение в асимметричном волчке. Теория и ее применение к дейтерированному пропилену  $\text{CH}_2\overset{\circ}{\text{O}}\text{CH}=\text{CH}_2$ . Hiroya Eizi. Internal rotation for the asymmetric top theory and its application to the deuterated propylene  $\text{CH}_2\overset{\circ}{\text{D}}\text{CH}=\text{CH}_2$ . «J. Mol. Spectrosc.», 1970, 34, № 3, 516—527 (англ.)

Рассмотрена теория вращательных спектров молекул с внутренними асимм. ротаторами в предположении, что из всех возможных внутренних движений молекулы реализуется только внутреннее вращение. Особое внимание удалено случаю, когда и «остов» молекулы и внутренний ротатор обладают, по крайней мере, одной плоскостью симметрии. Отмечено значение крутильных расщеплений уровней двух эквивалентных рота-

Х. 1971. 1

меров при определении потенциальной функции внутреннего вращения. Информация о потенциальной функции внутреннего вращения определяется также из разностей эффективных вращательных постоянных и постоянных  $\bar{Q}$  в недиагональном блоке двухмерного, эффективного гамильтонiana. На языке FORTRAN IV записана программа для вычисления уровней крутой энергии и необходимых вспомогательных расчетов. Теория применена к МВ вращательным спектрам асимметрич. формы молекулы  $\text{CH}_2\text{OCH}=\text{CH}_2$  (I) в основном и в первом возбужденном колебательном состоянии. В основном колебательном состоянии для повернутой формы I оценена величина барьера внутреннего вращения  $V_3$  в интервале  $\sim 694 - 668 \text{ см}^{-1}$ , в первом возбужденном крутольном состоянии значения  $V_3$  лежат, по-видимому, ниже на  $10 \sim 30 \text{ см}^{-1}$ . Обсуждено влияние высоты потенциального барьера и длины связи С—D на константы в эффективном вращательном гамильтониане для повернутой формы I.

По резюме



• 1970

8971v Internal rotation of the asymmetric top. Theory and its application to the deuterated propylene  $\text{CH}_2\text{DCH} = \text{CH}_2$ . Hirota, Eizi (Fac. Sci., Univ. Tokyo, Tokyo, Japan). *J. Mol. Spectrosc.* 1970, 34(3), 516-27 (Eng). Rotational spectra of mols. with asym. internal rotors are investigated theoretically, where all internal motions are assumed frozen except for the internal rotation. Particular emphasis is given to the case where both framework and top have at least a plane of symmetry. The torsional splittings of levels of 2 equiv. rotamers are very useful in discussing the potential function to the internal rotation. Differences in the effective rotational consts. and the consts.  $Q$  in the off-diagonal block of the 2-dimensional, effective Hamiltonian also provide information on the potential barrier. Theory is applied to the rotational spectra of the asym. form of  $\text{CH}_2\text{DCH}:\text{CH}_2$  in the ground as well as in the 1st-excited torsional state. The potential barrier  $V_3$  detd. is lower than that ( $698.4 \text{ cm}^{-1}$ ) for the normal species by as much as  $10-30 \text{ cm}^{-1}$ . RCKP

C. F. 1970. V3. 2

*C<sub>3</sub>H<sub>3</sub>C≡CH*

M.B. - Grav.  
unpublished  
unrec. up.

*Scharpen Le Ray H., 1970  
et al.*

*J. Chem. Phys., 53 (6),  
2513.*

*(all. NO) III*

$\text{CH}_2\text{DCH}-\text{CH}_2$   
 $\text{C}_3\text{H}_5\text{D}$

1970

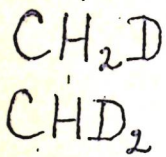
Walker G. Y.,  
Quade C. R.

monomer.  
dimer  
trimer  
tetramer

J. Chem. Phys., 1970,  
52, n° 12, 6427.

[Cu. C-D(H)-O] $_{\overline{M}}$

1971.



Mc.Dowell, C.A.; Farmer J.B.;  
u gp.

Checkp  
ESR.

"J. Phys. Chem.", 1971, 75, N 16;  
2448 - 52.

( $\text{cm} \cdot \text{CH}_2\text{NO, III}$ )

$\text{CH}_2\text{D}$       ommerck 3210      1972  
 $\text{CHD}_2$       Smith D. W.  
 $\text{CD}_3$       Andrews L.,  
Cld. noct.      Spectrochim Acta  
                  1972, 28A, 493-99.  
 $\nu_i$  Anharmonic potential  
functions.

312 18.602 5

Ch, TE

CDH<sub>2</sub> 29857

1973

4-2725

Anderson J. Edgar, Rawson David I.

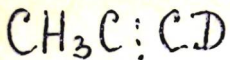
Nuclear magnetic resonance. Slow rotation of a methyl group. "J. Chem. Soc. Chem. Commun", 1973, N 21, 830-831 (англ.)

1025 вин

1010 1013 1018

ВИНИТИ

1973.



v<sub>i</sub>  
u, n

130059x Vibration bands  $\nu_1$  and  $2\nu_1$  of methyl acetylene-d<sub>1</sub>.  
Anttila, R.; Jaakkonen, S.; Huhanantti, M. (Dep. Phys.,  
Univ. Oulu, Oulu, Finland). *Ann. Acad. Sci. Fenn.*, Ser. A6  
1973, No. 401, 12 pp. (Eng). The rotational structures of the  
 $\nu_1$  and  $2\nu_1$  vibration bands of MeC:CD were investigated, and the  
hot bands that accompany these main absorptions were analyzed.  
Wave nos. are tabulated for the  $\nu_1$  band,  $J = 2-61$ ;  $\nu_1 + \nu_{10} -$   
 $\nu_{10}$  band,  $J = 9-47$ ;  $\nu_1 + \nu_9 - \nu_9$  band,  $J = 19-57$ ;  $2\nu_1$  band,  
 $J = 4-58$ ; and  $2\nu_1 + \nu_{10} - \nu_{10}$  band,  $J = 6-29, 43-48$ . The mol.  
consts.  $\nu_0$ ,  $B_0$ ,  $B_9$ ,  $B_{10}$ ,  $\alpha_1$ , and  $D_J$  are tabulated for these bands,  
resp.

C.A. 1973. 78N20

$\text{CHD}_2\text{CCH}$

L1973

Duncan J. L.  
et al.

U.K.  
Chemist. "J. Mol. Spectrosc."  
1973, 46, N2, 232-39.

● (in  $\text{CHD}_2\text{Cl}$ ; III)

$\text{CDH}_2\text{CH}_3$  Kondo. Shigeo. 1973  
 $(\text{CDH}_2)_2$  " T. G.

(u.ii). "Spectrochim. acta"  
1973, A 29, N<sup>o</sup> 4, 435-451

(u.  $\text{C}_2\text{H}_6$ ; III)

41017.4706

TC, Ch, Ph

92073

02

1974

C<sub>2</sub>H<sub>2</sub>D<sub>4</sub> (есл. нор) № 4-6960

Tanabe Kazutoshi, Saeki Shinnosuke. Force  
field of allene. "Bull. (Soc. Jap.)", 1974,  
47, N 8, 1847-1851

(англ.)

0216 пик

202 202

208

ВИНИТИ

40923.6647

TC, Ph, Ch

$C_2D_2H_2^+$  (исследование 1974)  
295559 O<sub>2</sub> 01

$C_2D_2H^+$ ,  $C_2D^+H$

44-6435

Gordon S. M., Krige G. J., Reid N. W.

Isotope effects in the unimolecular decomposition of ethylene by low-energy electron impact. "Int. J. Mass Spectrom. and Ion Phys.", 1974, 14, N 2, 109-124

(англ.)

0197.65:

160 163 0189

ВИНИТИ

Penn

353



40923.6547

TC, Ph, Ch

96559

02

1974

 $\text{C}_1\text{H}_2\text{DCl}_2\text{D}' \text{C}_2\text{D}_3\text{H}_2\text{X}$ 

45-6435

Gordon S. M., Krige G. J., Reid N. W.

Isotope effects in the unimolecular decomposition of ethylene by low-energy electron impact. "Int. J. Mass Spectrom. and Ion Phys.", 1974, 14, N 2, 109-124

(англ.)

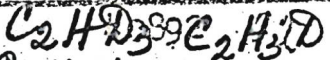
0197 С72

160 163 0189

ВИНИТИ

50221.8787

Ch, Ph, TC



1974

$C_2H_2D_2$  /  $V_i$ ;  $\text{cav. mat}$   $\times 4-8111$

Machida Katsuносuke, Tanaka Yumi~~ko~~ko.

Anharmonic force field of ethylene.

"J. Chem. Phys.", 1974, 61, N 12, 5040-5049

(англ.)

0304 ГИИК

279 281 0296

ВИНИТИ

40621.6191

CHD<sub>2</sub>

02

1974

Ch, Ph, TC

31603

спектр

\*45514

McKean D.G.

CHD<sub>2</sub> spectra and Fermi resonances in the  
CH<sub>3</sub> and CD<sub>3</sub> stretching regions: methyl  
cyanide. "Spectrochim.acta", 1974, A30,  
N5, 1169-1170

(англ.)

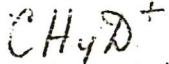
0135 МКИ

107 111 127

ВИНИТИ

41225.8895  
Ch,TC

40892 02 1974



445-7662

Sefcik Michael D., Henis Jay M.S.,  
Gaspar Peter P.

The methanium ion,  $\text{CH}^+$ . Evidence for the  
structure of a  $\text{CH}_3^+$  5  
nonclassical ion from reaction studies by  
ion cyclotron resonance spectroscopy.  
"J.Chem.Phys.", 1974, 61, N 10, 4321-4328

(англ.)

1250 РУБ

245 247

25 11

ВИНИТИ

50307.4800 (т.р.) 96559  $C_2HD^+$  1974  
Ch., TC, MGU  $C_2HD_2^+$  (крылья)  
иониз.) ХУ-8280

Suzuki Isao H., Maeda Kogoro. Ionization efficiency curves and fragmentations of deuterated ethylenes by electron impact.

"Int. J. Mass Spectrom. and Ion Phys.",

1974, 15, N. 3, 281-290 0316 пик  
(англ.)

292 294 3 0 6

ВИНИТИ

40925.8703

TC,Ch

40992

9974

D+CH<sub>4</sub>

Удк 5-6429

Valencich\_Trina, Bunker Don L.

Trajectory studies of hot atom reactions.  
II. An unrestricted potential for CH<sub>5</sub>.

"J.Chem.Phys.", 1974, 61, N 1, 21-29

(англ.)

0199 кнр |

162 165 5 0 4

ВИНИТИ

40925.8703

TC,Ch

40992

1974

H + C<sup>17</sup>Dy

12/29

4-6429

Valencich Trina, Bunker Don L.

Trajectory studies of hot atom reactions.  
II. An unrestricted potential for CH<sub>5</sub>.

"J.Chem.Phys.", 1974, 61, N 1, 21-29

(англ.)

0199 кнн |

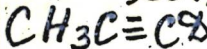
162 165 166 167

ВИНИТИ

40730.9149

Ph., Ch., TC

96615



(M.H)

02

1974

4-5970

Whitmer John C. Normal coordinates  
 and potential energy distributions  
 of methyl acetylene and some halogen  
 substituted analogues. "J. Mol. Struct.",  
 1974, 21, N 2, 173-183

(англ.)

0406 0663

133 134

158

ВИНИТИ

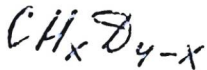
$C_6H_4D_2$  annexe 5544 1977.

Chappat et al.

Paucau-  
-cauap,  
Si. J. Raman Spectrosc.,  
1977, 6, 165-168

Etude vibrationnelle par  
spectrométrie Raman en ..

1978



6 Д269. Применения *F*- и *G*-правила сумм интенсивностей: молекулы  $\text{CH}_x\text{D}_{4-x}$ . De Vargas Neto Benicio, Bruns Roy E. *F* and *G* intensity sum rule applications: the  $\text{CH}_x\text{D}_{4-x}$  molecules. «J. Chem. Phys.», 1978, 69, № 9, 4147—4148 (англ.)

Для интенсивностей *A* в ИК-спектрах *G*-правило сумм имеет вид

$$(1/K \sum A_i = \xi_c m_c + (4+x) \xi_H^2 / 2m_H)$$

где  $K = N\pi/3c^2$ ,  $N$  — число Авогадро,  $c$  — скорость света,  $m_c$ ,  $m_H$  — массы атомов углерода и водорода,  $\xi_c$ ,  $\xi_H$  — их эффективные заряды. Постоянство  $\sum A_i^2/\omega_i^2$  в ряду изотопич. молекул соответствует *F*-правилу. Приводятся численные значения *F*- и *G*-сумм для последовательности  $\text{CH}_x\text{D}_{4-x}$ . Оба правила хорошо соблюдаются. На основании *G*-правила для каждой молекулы построен график зависимости  $\xi_c$  от  $\xi_H$ . Получены оценки  $0 < \xi_c/m_c < 10^{-4}e$  и  $0,0261e^2 < \xi_H^2 < 0,0265e^2$ . Эти значения согласуются с ранее вычисленными на основании полярных тензоров. Из *G*-правила следует также, что обе производные  $\partial r/\partial Q_3$  и  $\partial r/\partial Q_4$  имеют отрицат. знаки.

М. А. Кознер

Ф. 1978, № 6

$C_2H_2$

$C_2D_2$   
 $C_2HD$

Osservanza 8059

1979

Colin R., et al

(M, n)

Mol. Phys., 1979, 37  
(5), 1397 - ~~1412~~ 1412.



Seeu.  $C_2H_2$ ;  $\bar{v}_1$ ,

$\text{CH}_3\text{HD}_2$

$\text{CD}_3\text{CH}_2\text{D}$

$\text{CD}_3\text{CHD}_2$

M.N.

Enzymatic

osmium 4993

1979

Duncan J. D. et al.

J. Mol. Spectrosc.

1979, 44(3), 361-74.

Сборник  
бутена - 2

исследов.  
структур.

7 Б264. Вращательные спектры шести- и восьмикратно дейтерированных образцов молекулы цис-бутена-2. Guyon Pierre, Bouchy Alain, Roussy Georges. Spectres de rotation des especes hexa- et octodeuteriees de la molecule de cis-but-2-ene. «J. Mol. Struct.», 1979, 57, 53—61 (франц.)

Измерены в области частот от 18 до 40 ГГц МВ-спектры цис-2—3—H<sub>2</sub>-d<sub>6</sub>-бутена-2 (I) и цис-d<sub>8</sub>-бутена-2 (II) в основном колебательном состоянии. Анализ спектров выполнен с учетом взаимодействия полного вращения молекулы с внутренним вращением двух метильных групп. Для I и II, соотв., вращательные постоянные равны (в МГц)  $A = 12684,2$  (2) и  $11136,1$  (3),  $B = 4008,11$  (4) и  $3997,05$  (14),  $C = 3346,45$  (4) и  $3170,96$  (11), и барьеры внутреннего вращения  $V_3 = 777$  (30) и 811 (30) ккал/моль. Полученные данные использованы для определения структурных параметров молекулы:  $r(C_2C_3) = 1,348$  (1) Å,  $r(C_1C_2) = 1,498$  (2) Å,  $r(C_1H_1) = 1,096$  (5) Å,  $r(C_2H_2) = 1,0798$  (6) Å,  $\angle C_3C_2C_1 = 126,94$  (5)°,  $\angle C_2C_1H_1 = 112,15$  (30)°,  $\angle C_3C_2H_2 = 118,66$  (7)°. Ус-

х. 1980 № 7

становлено, что вклад внутреннего вращения двух метильных групп в МВ-спектр достаточно мал.

С. Н. Мурзин

*стбо  
7 м'*

$\text{CH}_3\text{CD}_2$

ommunic 8384

1979

Houll F.A., et al.

допомож.  
скреп.

of Amer. Chem. Soc. 1973,  
101, N15, 4064-74.

ес.  $\text{CH}_2\text{CH}_3 - \bar{\text{H}}$

1949

отмеч 8566

2 Д445. Определение барьера внутреннего вращения этана по микроволновому спектру  $\text{CH}_3\text{CHD}_2$ . Barrier to internal rotation in ethane from the microwave spectrum of  $\text{CH}_3\text{CHD}_2$ . Hirota Eizi, Saito Shuji, Endo Yasuki. «J. Chem. Phys.», 1979, 71, № 3, 1183—1187 (англ.)

В диапазоне 34—140 Гц исследован микроволни. спектр молекулы  $\text{CH}_3\text{CHD}_2$ . Идентифицированы линии 26 вращательных переходов основного колебательного состояния: обнаружено А—Е-расщепление 16 линий, обусловленное торсионным туннелированием. Анализ спектра выполнен методом внутренних осей. Определены значения вращательных постоянных, постоянных квартичного центробежного искажения и барьера внутреннего вращения ( $V_3=2,8783$  ккал/моль). М. Р. Алиев

4-й: сканер

№

ФБЭО.Н2

2 Б308. Определение барьера внутреннего вращения  
в этиане по микроволновому спектру  $\text{CH}_3\text{CHD}_2$ . Niota  
Eizi, Saito Shuji, Endo Yasuki. Barrier to in-  
ternal rotation in ethane from the microwave spectrum  
of  $\text{CH}_3\text{CHD}_2$ . «J. Chem. Phys.», 1979, 71, № 3, 1183—  
1187 (англ.)

Однако 8566

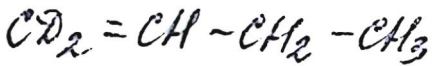
М. И. Но  
изолирован

ель  
г?

2.1080.12

Измерен в области частот 34—141 ГГц МВ-спектр  $\text{CH}_3\text{CHD}_2$ . Идентифицировано 26 вращательных переходов и для 16 из них разрешено расщепление линий, связанное с внутренним вращением метильной группы. Анализ спектра выполнен с учетом эффектов центробежного искажения и внутреннего вращения. Определены вращательные постоянные (МГц)  $A = 60809,592(59)$ ,  $B = 17770,87(16)$ ,  $C = 17084,84(16)$  и постоянные центробежного искажения (кГц)  $\Delta_J = 23,33(45)$ ,  $\Delta_{JK} = 60,2(2,0)$ ,  $\Delta_K = 177(15)$ ,  $\delta_J = 0,79(16)$ ,  $\delta_J = 0,79(16)$ ,  $\delta_K = 50(81)$ .  $\Delta_K = 177(15)$ ,  $\delta_J = 0,79(16)$ ,  $\delta_K = 50(81)$ . В предположении, что величина барьера  $V_6 = 0$ , определены значения константы  $F = 257,70$  ГГц и барьера внутреннего вращения  $V_3 = 2,8783(29)$  ккал/моль. Из сравнения полученных величин моментов инерции с вычисленными из  $r_0$  и  $r_g$  структур по опубликованным данным установлена точность определения молек. постоянных. Известные структурные данные хорошо коррелируют с результатами выполненных МВ-измерений.

С. Н. Мурzin



1980

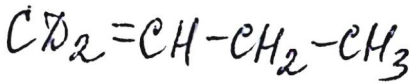
1 Д378. О микроволновом спектре 1,1- $d_2$ -бут-1-ена.  
On the microwave spectrum of the 1,1- $d_2$ -but-1-ene. Bo-  
uchy A., Ledoux M. I. «J. Mol. Spectrosc.», 1980,  
80, № 2, 453—454 (англ.)

В диапазоне 18—40 ГГц измерен микроволни. спектр  
молекулы  $CD_2=CH-CH_2-CH_3$ . Идентифицированы ли-  
ни 19 вращательных переходов с  $J \leq 4$  в основном ко-  
лебательном состоянии. Определены значения врача-  
тельных постоянных и 3 (из 5) постоянных квартичного  
центробежного искажения.

М. Р. Алиев

М. Р. Алиев

1981 г. 1



1980

23 Б215. О микроволновом спектре 1,1- $d_2$ -бутена-1.  
Bouchy A., Ledoux M. J. On the microwave spectrum of the 1,1- $d_2$ -but-1-ene. «J. Mol. Spectrosc.», 1980,  
80, № 2, 453—454 (англ.)

Измерен в области частот 18—40 ГГц МВ-спектр  
 $CD_2=CH-CH_2-CH_3$  в основном колебательном со-  
стоянии. Анализ спектра выполнен с учетом эффектов  
квартичного центробежного искажения. Вращательные  
постоянные равны (Мгц):  $A = 20858(200)$ ,  $B = 3795,009$ ,  
(34),  $C = 3710,571(34)$ , а постоянные центробежного ис-  
кажения равны (кГц)  $\Delta_J = 3,13(24)$ ,  $\Delta_{JK} = -53,89(72)$ ,  
 $\delta_J = -0,82(40)$ . Полученные молек. данные отнесены к  
асимм. конформеру 1,1- $d_2$ -бутена-1

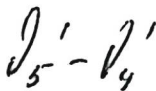
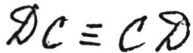
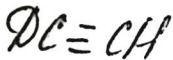
С. Н. Мурзин

4. б. Смир

4.11.

X. 1980 N 23

1980



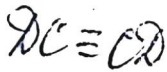
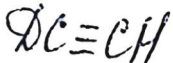
6 Д447. Полосы  $\nu_5^1 - \nu_4^1(D_1)$ -ацетилена и  $(D_2)$ -ацетилена в дальней ИК-области. The  $\nu_5^1 - \nu_4^1$  far-infrared bands of  $(D_1)$ -acetylene and  $(D_2)$ -acetylene. Braun Doris B., Cole Andrew R. H. «Austral. J. Chem.», 1980, № 9, 2053—2060 (англ.)

С помощью решеточного спектрометра с оптич. шириной щели 0,3—0,4 см<sup>-1</sup> исследована вращательная структура полос  $\nu_5^1 - \nu_4^1$  в спектре ИК-поглощения молекул  $\mathcal{D}\mathcal{C} \equiv \mathcal{C}\mathcal{H}$  и  $\mathcal{D}\mathcal{C} \equiv \mathcal{C}\mathcal{D}$  в газовой фазе. По полученным данным определены постоянные колебательно-вращательного движения исследованных изотопов ацетилена. Значения постоянных хорошо согласуются с литературными данными, полученными при исследовании спектров поглощения в ближней и средней ИК-области, а также методами микроволи. спектроскопии. С помощью найденных постоянных рассчитаны частоты линий полосы  $\nu_5^1 - \nu_4^1$ , которые вместе с эксперим. значениями частот приведены в таблицах. Наблюдается хорошее согласие между рассчитанными и эксперим. величинами.

Н. Ф.

Ф. 1981 № 6

1980



10. 11, 11  
/

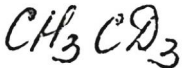
11 Б236. Полосы  $v_5^1 - v_4^1$  ( $D_1$ )-ацетилена и ( $D_2$ )-ацетилена в далекой инфракрасной области. В гаунд Doris B., Cole Andrew R. H. The  $v_5^1 - v_4^1$  far-infrared bands of ( $D_1$ )acetylene and ( $D_2$ )acetylene. «Australian J. Chem.», 1980, 33, № 9, 2053—2060 (англ.)

Измерена и проанализирована вращательная структура полос  $v_3^1 - v_4^1$  в спектрах молекул  $\text{DC}\equiv\text{CH}$  (I) и  $\text{DC}\equiv\text{CD}$  (II). В спектре I наблюдались линии  $P$  ( $Y \leq 15$ ) и  $R$  ( $Y \leq 23$ ) ветвей. Значения  $G_0(v') - G_0(v'')$ ,  $B_{v'}$  и  $B_{v''}$  (в  $\text{см}^{-1}$ ):  $159,431 \pm 0,018$ ,  $0,99273 \pm 0,00079$  и  $0,99406 \pm 0,00079$ . В спектре II наблюдались только линии  $R$ -ветви ( $Y \leq 29$ ), т. к. остальная часть вращательной структуры ( $P$ -ветвь) лежала ниже границы работы спектрофотометра. Значения  $G_0(v') - G_0(v'')$ ,  $B_{v'}$  и  $B_{v''}$  (в  $\text{см}^{-1}$ ):  $27,17 \pm 0,05$ ;  $0,846 \pm 0,004$ ; и  $0,846 \pm 0,004$ . В спектре I наблюдались также  $Q$ -ветви горячих полос  $2v_5^2 - (v_4 + v_5)^2$  и  $(v_1 + v_5)^2 - 2v_4^2$ . Приведена схема уровней колебательной энергии  $\text{C}_2\text{HD}$  и  $\text{C}_2\text{D}_2$  и переходов, проявляющихся в области 160 и 30  $\text{см}^{-1}$  соответственно.

B. M. Kovba

2.1981.NH

1980



(2) 3)

10 Б235. Инфракрасные вращательно-колебательные спектры этана. Параллельная полоса,  $2\nu_3$ ,  $\text{CH}_3\text{CD}_3$ . Heise H. M., Cole A. R. H. Infrared rotation-vibration spectra of ethane. The parallel band,  $2\nu_3$ , of  $\text{CH}_3\text{CD}_3$ . «J. Mol. Spectrosc.», 1980, 83, № 2, 245—260 (англ.). В области частот 2715—2780  $\text{см}^{-1}$  с разрешением 0,025  $\text{см}^{-1}$  измерен спектр поглощения этана,  $\text{CH}_3\text{CD}_3$ . В результате специальной обработки спектра разрешение доведено до величины 0,015  $\text{см}^{-1}$ . Идентифицировано 710 линий, из них 466 отнесены к параллельной полосе  $2\nu_3$  и 244 — к горячей полосе  $2\nu_3 + \nu_6 - \nu_6$ . Из комбинац. разностей частот определены молек. постоянные в основном и возбужденном крутильном  $\nu_6 = 1$  колебательных состояниях, соотв. (в  $\text{см}^{-1}$ ):  $B = 0.5462 (3)$  и  $0.54961 (6)$ ,  $D_J = 0.65 (2) \cdot 10^{-6}$  и  $0.70 (8)$ .

$\cdot 10^{-6}$ ,  $D_{JK} = 0,13(4) \cdot 10^{-5}$  и  $0,13 \cdot 10^{-5}$ . Полученные значения постоянных уступают по точности МВ-данным. Аналогичным образом определены молек. постоянные в возбужденных колебательных состояниях ( $v_3=2$ ) и ( $v_3=2, v_6=1$ ), соотв. (в  $\text{см}^{-1}$ ):  $v_0 = 2752,642(3)$  и  $2752,683(5)$ ,  $B' = 0,54177(3)$  и  $0,54173(4)$ ,  $D_{J'} = 0,43(4) \cdot 10^{-6}$  и  $0,22(8) \cdot 10^{-6}$ ,  $D'_{JK} = 0,69(2) \cdot 10^{-5}$  и  $0,80(5) \cdot 10^{-5}$ ,  $A' - A'' = 0,00428(8)$  и  $0,00440(14)$ . Полученные значения молек. постоянных сопоставлены с данными для этана —  $d_0$ : (A. R. Sc. Cole et al. «J. Mol. Spectrosc.», 1980, 83, 233).

С. Н. Мурзин

1980

*CH<sub>3</sub>CD<sub>3</sub>*

6 Д445. Колебательно-вращательный инфракрасный спектр этана. Параллельная полоса  $2\nu_3$  молекулы CH<sub>3</sub>CD<sub>3</sub>. Infrared rotation-vibration spectra of ethane. The parallel band  $2\nu_3$  of CH<sub>3</sub>CD<sub>3</sub>. Heise H. M., Cole A. R. H. «J. Mol. Spectrosc.», 1980, 83, № 2, 245—260 (англ.)

На дифракционном спектрометре с разрешением 0,015 см<sup>-1</sup> измерена вращательная структура ИК-полосы  $2\nu_3$  молекулы H<sub>3</sub>CCD<sub>3</sub> вблизи 2750 см<sup>-1</sup>. Идентифицированы линии P-, Q-, R-ветвей с  $J \leq 30$ . Обнаружены аномалии в подветвях с  $K=2 \div 6$ , обусловленные главным образом кориолисовым резонансом между  $2\nu_3$  и  $\nu_2 + \nu_{12}$  (или  $\nu_3 + \nu_6 + \nu_0$ ). Определены значения вращательных и центробежных постоянных. М. Р. Алиев

44.

Ф.1981.№6

$\text{CHD}_2\text{CH}_2$

B9-XIV-9492 1980

12 Д178. О барьере вращения относительно связи С—С в этил-радикале. On the barrier for rotation about the C—C bond of the ethyl radical. Pacansky J., Coufal H. «J. Chem. Phys.», 1980, 72, № 9, 5285—5286 (англ.)

Согласно расчетам по неэмпирическому методу ССП этил-радикал стабилен в скрученной конфигурации, тогда как энергия затменной конформации на 0,2 ккал выше. Если вращение относительно связи С—С свободно, то в ИК-спектре  $\text{CHD}_2\text{CH}_2$  должна наблюдаться одна частота вал. кол. С—Н. В случае заторможенного вращения должны наблюдаться две частоты вследствие неэквивалентности связей С—Н в двух конформациях. Этил-радикалы были получены путем фотолиза перекиси дипропионила в аргоновой матрице. В ИК-спектре наблюдана только одна частота  $2846 \text{ см}^{-1}$ , принадлежащая этил-радикалам. Сделан вывод об отсутствии барьера внутреннего вращения.

М. А. Ковнер

Ф. 1980  
N 12

$\text{HCD}_2\text{CD}_2$

ВР-XIV-9499

1980

24 Б192. О барьере вращения вокруг связи С—С в этильном радикале. Pacansky J., Coufal H. On the barrier for rotation about the C—C bond of the ethyl radical. «J. Chem. Phys.», 1980, 72, № 9, 5285—5286 (англ.)

При фотолизе (УФ-облучение,  $\lambda > 2800 \text{ \AA}$ ) дипропионилпероксида  $\text{HCD}_2\text{CD}_2\text{CO}_2\text{O}_2\text{CD}_2\text{CD}_2\text{H}$  (I) в матрице аргона (конц-ия 1/600) после полной фотодеструкции I получаются этильный радикал  $\text{HCD}_2\text{CD}_2$  (II) и  $\text{CO}_2$ . Измерен ИК-спектр изолированного в аргоне II при т-ре 38 К. ИК-полосы 2846 и  $2955 \text{ cm}^{-1}$  отнесены, соотв., к вал. кол. CH радикала II и продуктов диспропорционирования I. Наличие одной полосы вал. кол. CH в метильной группе радикала II свидетельствует, по мнению авторов, о эквивалентности всех CH связей в метильной группе этильного радикала и, как следствие, о свободном вращении вокруг связи С—С в этом радикале.

С. С. Букалов

И. К. сканер

10

X. 1980 N 24

$\text{CH}_3\text{CD}_3$

Омск 13034 1981

9 Б261. Инфракрасный спектр высокого разрешения этиана-1,1,1-D<sub>3</sub>. Ровибронные исследования CH<sub>3</sub>CD<sub>3</sub> и <sup>13</sup>CH<sub>3</sub>CD<sub>3</sub>. Duncan J. L., Нагрег J., Моггиссон A. R., Nivellini G. D., Tullini F. The high-resolution infrared spectrum of ethane-1,1,1-D<sub>3</sub>. Rovibration studies of CH<sub>3</sub>CD<sub>3</sub> and <sup>13</sup>CH<sub>3</sub>CD<sub>3</sub>. «J. Mol. Spectrosc.», 1981, 90, № 1, 197—214 (англ.)

Спектр поглощения ряда основных полос молекул CH<sub>3</sub>CD<sub>3</sub> и <sup>13</sup>CH<sub>3</sub>CD<sub>3</sub> записан на фурье-спектрометре с разрешением ~0,05 см<sup>-1</sup>. Проведен анализ спектров след. основных ИК-полос, к-рые ранее детально не изучались, v<sub>2</sub> (CD<sub>3</sub> симм вал.), v<sub>7</sub> (CH<sub>3</sub> асимм. вал.), v<sub>9</sub> (CH<sub>3</sub> асимм. деф.), v<sub>11</sub> (CD<sub>3</sub> асимм. деф.) и v<sub>12</sub> (CD<sub>3</sub> маятн.) и определены спектроскопич. постоянные для верхних колебательных состояний для каждой полосы.

В. М. Михайлов

X. 1982, 19, № 9.

$\text{CH}_3\text{CD}_3$

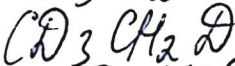
Ommick 1303/1981

Di, UK cnekP

95: 194661w The high-resolution infrared spectrum of ethane-1,1,1-D<sub>3</sub>. Rovibration studies of CH<sub>3</sub>CD<sub>3</sub> and <sup>13</sup>CH<sub>3</sub>CD<sub>3</sub>. Duncan, J. L.; Harper, J.; Morrisson, A. R.; Nivellini, G. D.; Tullini, F. (Dep. Chem., Univ. Aberdeen, Aberdeen, Scot. AB9 2UE). *J. Mol. Spectrosc.* 1981, 90(1), 197-214 (Eng). The IR spectra of a no. of fundamentals of MeCD<sub>3</sub> and <sup>13</sup>CH<sub>3</sub>CD<sub>3</sub> were recorded at  $\sim 0.05 \text{ cm}^{-1}$  resoln. by using a Nicolet Fourier transform spectrometer. Complete analyses at this resoln. were performed for the  $\nu_2$  (CD<sub>3</sub> sym. stretch),  $\nu_7$  (Me asym. stretch),  $\nu_9$  (Me asym. deformation),  $\nu_{11}$  (CD<sub>3</sub> asym. deformation), and  $\nu_{12}$  (CD<sub>3</sub> rock) fundamentals, and sets of upper-state parameters were derived. Perturbations in the  $\nu_9$  band were accounted for in terms of an A<sub>1</sub>-E Coriolis interaction with  $\nu_3$  (Me sym. deformation), and in the  $\nu_{11}$  band in terms of the combined effects of an A<sub>1</sub>-E Coriolis interaction with  $\nu_4$  (CD<sub>3</sub> sym. deformation) and an E( $\pm l$ ) - E( $\mp l$ ) interaction with  $\nu_{10}$  (Me rock). A small, localized perturbation in  $\nu_7$  was identified as due to a higher-order rotational resonance with  $2\nu_9^2$ . All 1st- and 2nd-order Coriolis interaction parameters were detd. Limited spectroscopic information was obtained on  $\nu_3$ ,  $\nu_4$ , and  $\nu_{10}$ , all of which are extremely weak in the IR. The perpendicular band analyses enable the centrifugal distortion  $D_K^0$  const. to be estd.

C.A. 1981, 95, N22

1981



geom., структ.,

м.н.

7 Б290. Микроволновые спектры дейтерированных этанов. Потенциальная функция внутреннего вращения и  $r_z$ -структура. Нігота Е., Endo Y., Saito S., Дансан J. L. Microwave spectra of deuterated ethanes: internal rotation potential function and  $r_z$  structure. «J. Mol. Spectrosc.», 1981, 89, № 2, 285—295 (англ.)

Измерены в области частот 100—160 ГГц МВ-спектры  $\text{CH}_3\text{CHD}_2$  (I) в первом возбужденном крутильном состоянии,  $\text{CH}_3\text{CH}_2\text{D}$  (II),  $\text{CD}_3\text{CH}_2\text{D}$  (III) и гоша  $\text{CH}_2\text{DCH}_2\text{D}$  (IV) в основном колебательном состоянии. Анализ спектров выполнен с учетом квартичного центробежного искажения и внутреннего вращения. Для I—IV соотв., вращательные постоянные равны (в МГц)  $A=60847$  (106),  $69640,504$  (69),  $48650,630$  (58) и  $61360,344$  (23),  $B=17703,167$  (48),  $18876,23$  (14),  $15656,793$  (64) и  $17642,0291$  (75),  $C=17030,976$  (54),  $18209,90$  (13);  $15194,324$  (63) и  $17036,3299$  (75). Из анализа  $A-E$ -расщепления вращательных переходов вследствие внутреннего вращения для I, II и III соотв. опре-

Х. 1982, 19, N. 7.

делены параметры потенциальной функции  $V_3 = 2,8659$  (18),  $2,88838$  (36) и  $2,862$  (11) ккал/моль при фиксированном значении параметра  $V_6 = 0,0$  ккал/моль. С учетом зависимости между параметрами  $V_3$  и  $V_6$  для I в колебательных состояниях  $v=0$  и  $v=1$  получены значения  $V_3 = 2,8618$  (80) и  $V_6 = 0,0196$  (66) ккал/моль.

С. Н. Мурзин

ные  
тос

$(C_2H_4) \cdot (C_2D_4)$

1983

Hoffbauer Mark A.,  
Liu Kopir, Giese Clay-  
nregue- tor F., et al.  
coisaua.

J. Chem. Phys., 1983,  
78, N9, 5567-5581.

(cii.  $(C_2D_4)_2$ ; II.)

$C_3H_2D^-$

1983

$C_3HD_2^-$  Oakes John M.,  
Ellison G. Barney.

Ae;

J. Amer. Chem. Soc.,  
1983, 105, N10, 2969-

-2978.

(see  $CH_2C \equiv CH$ ; III)

Om. 16365 . 1983

$C_6D_3H_3$

$C_6D_2H_4$

Сп. нос.,  
кодам.  
Энергия  
поршневых  
пакетов.

Steger E., Weber K.,  
Z. Phys. Chem. (DDR),  
1983, 264, N1, 137 -  
- 145.

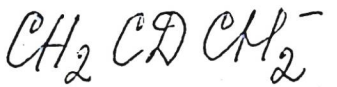
$C_3H_2D^+$

1984

Craig N. C., Prarata J.  
et al.

Rec'd. J. Amer. Chem. Soc.,  
1984, 106, N<sup>o</sup> 24, 7637-  
7638.

(Recr.  $C_3H_3^+$ ; III)



1984

Oakes John M.,  
Ellison G. Barrey.

recomm.,

согрекм., J. Amer. Chem. Soc.,

Fe;

1984, 106, N<sup>o</sup> 25, 7734-

• -7741.

(cес.  $\text{CH}_2\text{CHCH}_2^-$ ; III)

$C(CH_2D)_4$

1984

102: 69544x CH-stretching gas phase overtone spectrum of symmetric neopentane-d<sub>4</sub>. Tarr, Allan W.; Henry, Bryan R. (Dep. Chem., Univ. Manitoba, Winnipeg, MB Can. R3T 2N2). *Chem. Phys. Lett.* 1984, 112(4), 295-301 (Eng). The overtone spectrum of neopentane-d<sub>4</sub>, C(CH<sub>2</sub>D)<sub>4</sub>, was examd. and the local mode model was used to assign the prominent peaks. Proposed coupling routes for intramol. vibrational relaxation of CH-stretching overtones are discussed. The dominant vibrational relaxation pathway was identified by comparisons of neopentane-d<sub>4</sub>, neopentane, and benzene overtone bandwidths.

(vi)

C.A.1985, 102, n8

1985

CH<sub>3</sub>OH

Л193. Угловая зависимость нулевой энергии колебаний в частично дейтерированных метиловых спиртах. Повторное рассмотрение. τ dependence of the vibrational zeropoint energy in the partially deuterated methyl alcohols, revisited. Chang T. L., Quade C. Richard. «J. Mol. Spectrosc.», 1985, 111, № 2, 398—402 (англ.)

(дл.н.)

Для ряда дейтеропроизводных метанола (CH<sub>3</sub>OD, CD<sub>3</sub>OD, CD<sub>3</sub>OH, CH<sub>2</sub>DOH, CH<sub>2</sub>DOD, CHD<sub>2</sub>OH и CHD<sub>2</sub>-OD) приведены данные повторных расчетов вклада в величину потенц. барьера вращения группы (CH<sub>3</sub>) от нулевой колебательной энергии других 3N—7 колебаний с использованием уточненных значений силовых констант колебаний, взятых из ИК-спектра. Получены зависимости потенц. барьера от угла (τ): V(τ)~V<sub>1</sub>(τ)+V<sub>2</sub>(τ)+V<sub>3</sub>(τ), где V<sub>n</sub>(τ)~V<sub>n</sub>·(1—cos(nt)), причем значения V<sub>1</sub> (~11,95 см<sup>-1</sup>), V<sub>2</sub> (~0,17 см<sup>-1</sup>) и V<sub>3</sub> (~370,5 см<sup>-1</sup>) совпадают с экспериментально определенными величинами с точностью ~1%. Приведены таблицы частот всех 11 колебаний CH<sub>2</sub>DOH для «гош» и «транс» форм.

В. А. Л.

1986, 18, N/10

*CH<sub>3</sub> OD*

*1985*

9 Д81. Модель молекулы типа квазисимметричного волчка для колебательно-вращательной задачи молекул типа CH<sub>3</sub>XY: применение к молекуле CH<sub>3</sub>OD. Quasi-symmetric top molecule approach to the rotational-vibrational problem of CH<sub>3</sub>XY molecules: application to CH<sub>3</sub>OD. Корут J. «J. Mol. Spectrosc.», 1985, 111, № 2, 440—450 (англ.)

Рассмотрены энергии изгибио-торсионно-вращательных уровней молекул типа CH<sub>3</sub>XY с нелинейной группой CH<sub>3</sub> по модели квазисимметричного волчка с учетом торсионно-вращательного взаимодействия. Торсионная потенц. ф-ция выбрана в виде ряда Фурье, а потенц. ф-ция изгибного колебания в виде квартичной ф-ции с параболич. барьером. С использованием перестановочно-инверсионной группы C<sub>6</sub>, изоморфной к точечной группе C<sub>3v</sub>, проведена классификация уровней по симметрии и определены правила отбора для ди-

*М.Н.*

*φ 1986, 18, № 9*

польных переходов. Модель применена к численному анализу МВ- и далеким ИК-спектров молекулы  $\text{CH}_3\text{OD}$ . Из частот 94 вращательных переходов ( $J \leq 4$ ) и 55 торсионно-вращательных переходов ( $K \leq 4$ ) определены параметры потенц. ф-ции и структурные параметры  $\text{CH}_3\text{OD}$ . Для торсионного и изгибного барьеров получены величины 366 и  $7000 \text{ см}^{-1}$  соответственно.

М. Р. Алиев:

*C<sub>6</sub>H<sub>5</sub>D*

*1986*

20 Б1232. Субдоплеровские двухфотонные спектры молекул типа асимметричного волчка: анализ вращательной структуры  $^{49}Q$ -ветви системы  $S_1(^1B_{2u})14^1 \leftarrow S_0(^1A_{1g})$  бензола- $d_1$ . Sub-doppler two-photon spectrum of asymmetric rotor molecules: analysis of the  $^{49}Q$  rotational branch of the  $S_1(^1B_{2u})14^1 \leftarrow S_0(^1A_{1g})$  system of benzene- $d_1$ . В группе А. Е., Riedle E., Neusser H. J. «Chem. Phys. Lett.», 1986, 126, № 6, 558—566 (англ.)

Методом насыщ. поглощения с использованием непрерывного лазера на красителе с внешним концентрич. резонатором измерен субдоплеровский двухфотонный спектр поглощения молекулы  $C_6H_5D$  в обл. частот полосы  $14^1$  системы электронного перехода  $S_1 \rightarrow S_0$ . Идентифицировано более 200 линий  $^{49}Q$ -ветви с  $J \leq 20$ . Анализ спектра выполнен с использованием вращат. гамильтонианов Уотсона для основного и возбужденного состояний и определены значения вращат. постоянных

*М.Л., Р.*

*X. 1986, 19, N 20*

и постоянных квартичного центробежного искажения.  
для обоих состояний. Е. В. Алиева



CD<sub>2</sub>H<sub>2</sub>Cl<sub>2</sub>      (DM-27900)      1987

"sp." Claxton T.A., Graham A.H.,

V. Гарен  
Брумек  
Гранзен  
J. Chem. Soc. Chem.  
Commun., 1987, N 15,  
1167.

$C_3D_2H^+$       OM. 24560      1986

Craig N.C., Pranata J.,  
et al.

v. n.      J. Amer. Chem. Soc., 1986,  
108, N15, 4378-4386.

(C<sub>21</sub> C<sub>3</sub>H<sub>3</sub><sup>+</sup>;  $\text{III}$ )

$C_3H_2D^+$

(Om. 24560)

1986

$C_3D_2H^+$

Craig N. C., Pranata J,  
et al.

CONFAN.  
CREEKPR  
A. CERNOB.  
NOCHMOFF

J. Amer. Chem. Soc.,  
1986, 108, N 15, 4378 -  
- 4386.

$CD_3CHDCD_3$  (OM-23784) 1986

Bough K.U., Bairdais F.Y.  
et al.,

(CKP, UK,  
Di)

Z. Chem. Phys., 1986,  
84, N2, 549-560.

$\text{H}(\text{C}\equiv\text{C})_2\text{D}^+$  1986

Kuhn R., Maier J.P.  
et al.

Chernys  
Borekova  
Pazdneva -  
Kuhn

Mol. Phys., 1986, 59,  
N 3, 441 - 448.

(see:  $\text{H}(\text{C}\equiv\text{C})_2\text{H}^+, \text{III}$ )

$\text{CH}_2 = \text{CH} - \text{CO} = \text{O}$  (O.M. 27 476)

1987

nonempirical,  
numerical  
P-III,  
fugac. pp.,  
ab initio  
paciente

De Maré F.R.,  
Panchenko Y.N., et al.,  
J. Mol. Struct.,  
1987, 160, N 3-4,

327-● 335.

$\text{CH}_2\text{CH}_2\text{CD}_2$

1987

4 Л212. Микроволновый спектр циклопропана-1,1-*d*<sub>2</sub>.  
Молекулярная структура циклопропана. The microwave  
spectrum of cyclopropane-1,1-*d*<sub>2</sub>. Molecular structure of  
cyclopropane. Endo Yasuki, Chang Man Chai, Hirota  
Eizi. «J. Mol. Spectrosc.», 1987, 126, № 1, 63—71  
(англ.)

На МВ-спектрометре с модуляцией частоты источника в диапазоне 320—400 ГГц исследован МВ-спектр молекулы  $\text{CH}_2\text{CH}_2\text{CD}_2$ . Идентифицированы линии 64 вращательных переходов *a*-типа с  $J \leq 17$  в основном колебательном состоянии. Определены значения вращательных постоянных и постоянных квартичного центробежного искажения.

М. Р. Алиев

φ. 1988, 18, N 4

*CH<sub>2</sub>CD<sub>3</sub>*

1987

5 Л173. ИК-спектр газообразного цис-*d*<sub>2</sub>-этилена ниже 1400 см<sup>-1</sup>. The infrared spectrum of gaseous cis-*d*<sub>2</sub>-ethylene below 1400 cm<sup>-1</sup>. Hegelund F., Nicolaisen F. M. «J. Mol. Spectrosc.», 1987, 126, № 1, 32—57 (англ.)

В целях изучения структуры и силовых полей молекулы этилена исследован ИК-спектр газообразного цис-*d*<sub>2</sub>-этилена (I) в области 700—1400 см<sup>-1</sup> с разрешением 0,03 см<sup>-1</sup>. Проведен вращательно-колебательный анализ фундаментальной полосы ν<sub>7</sub> типа C при 842 см<sup>-1</sup> и двух фундаментальных полос ν<sub>6</sub> и ν<sub>12</sub> типа a при 1040 и 1341 см<sup>-1</sup> соответственно. Определены значения вращательных постоянных и постоянных центробежного искажения для основного состояния I. Определены спектроскопич. постоянные для верхнего возбужденного состояния, в случае каждой из трех полос ν<sub>7</sub>, ν<sub>6</sub> и ν<sub>12</sub> и исследован характер наблюдаемых возмущений уровней с учетом кориолисовых резонансных взаимодействий ν<sub>7</sub> с ν<sub>8</sub>, ν<sub>6</sub> с ν<sub>4</sub> и ν<sub>8</sub>, ν<sub>12</sub> с 2ν<sub>10</sub>. А. М. М.

М.Н.

φ/1988, 18, N5

C<sub>4</sub>H<sub>2</sub>

1987

Owen Noel Z.,  
Smith Ch. H., et al.

Koedinger.  
Crekmp  
J. Mol. Struct.,  
1987, 161, 33-53.

(see C<sub>4</sub>H<sub>2</sub>; III)

*C<sub>4</sub>H<sub>7</sub>D*

*1987*

4 Л215. Наблюдение чисто вращательного спектра молекулы циклобутана —  $d_1$  методом микроволновой фурье-спектроскопии. The pure rotational spectrum of cyclobutane- $d_1$  observed by microwave Fourier transform spectroscopy. Vogelsanger B., Caminati W., Bauder A. «Chem. Phys. Lett.», 1987, 141, № 3, 245—250 (англ.)

На импульсном МВ-фурье-спектрометре со сверхзвуковой импульсной молекулярной струей исследован МВ-спектр молекулы  $C_4H_7D$  в диапазоне 12—40 ГГц. Методом двойного резонанса идентифицированы линии 53 вращательных переходов с  $J \leq 40$  в основном колебательном состоянии экваториального и аксиального конформеров. Определены значения вращательных постоянных и постоянных квартичного центробежного искажения. Оценены структурные параметры циклобутана.

М. Р. Алиев

*phi, 1988, 18, N 4*

$CD_3OH$

1988

113: 240416k Rotational spectrum of the ground-state trideuterated methanol ( $CD_3OH$ ) molecule. Baskakov, O. I.; Pashaev,

M. A. (USSR). *Kolebat.-vrashchatel. Spektry Molekul*, M. 1988,  
199-209 (Russ). From Ref. Zh., Fiz. (A-Zh.) 1990, Abstr. No. 4D91.  
Title only translated.

БРОСАМЕНЬ  
ЧЕРПНІ, ІІ.Н.

C.A.1990, 113, N26

$\text{CH}_3\text{CH}_2\text{D}$   
 $\text{CH}_3\text{CD}_2$

ll gp.

М.Н.

1988

З Б1358. Вращательно-колебательные взаимодействия в несимметричных дейтерированных производных этана. Изучение колебательных спектров. Interaccion rotacion-vibracion en derivados deuterados asimetricos del etano / Campos-Vallette M., Escribano R. // An quim. A:/Real soc. esp. quim.— 1988.— 84, № 2.— С. 167—173.— Исп.; рез. англ.

Измерены ИК-спектры высокого разрешения дейтерозамещ. этанов  $\text{CH}_3\text{CH}_2\text{D}$ ,  $\text{CH}_3\text{CHD}_2$ ,  $\text{CH}_2\text{DCH}_2\text{D}$ ,  $\text{CHD}_2\text{CH}_2\text{D}$ ,  $\text{CHD}_2\text{CHD}_2$ ,  $\text{CD}_3\text{CH}_2\text{D}$ ,  $\text{CHD}_2\text{CD}_5$  типа асим. волчков в обл.  $3000$ — $2200$  см $^{-1}$ . Предложено отнесение наблюдаемых полос к модам типа  $\nu_1$ ,  $\nu_5$ ,  $\nu_7$  и  $\nu_{10}$  вал. кол. CH(CD). Обсужден характер колебат. взаимодействий в измеренных спектрах. Б. В. Рассадин



Х. 1989, № 3

$\text{CH}(\text{CD}_3)_3$  (DM-30736, a") 1988

Duncan J. L., McRae R. C.  
et al.,

Гепарин-  
ре漳酸酯  
номози.  
ангион.

J. Chem. Soc. Faraday  
Trans. Pt II 1988, 84, N 9,  
1423-42.

C<sub>2</sub>H<sub>2</sub>D

1988

108: 212820r Coriolis perturbations in the infrared spectrum of the  $\nu_4 + \nu_7$  and  $\nu_7 + \nu_8$  bands of cis-d<sub>2</sub>-ethylene. Hegelund, F.; Nicolaisen, F. M. (Dep. Chem., Aarhus Univ., Aarhus, DK-8000 Den.). *J. Mol. Spectrosc.* 1988, 128(2), 321-33 (Eng). The IR spectra of the  $\nu_4 + \nu_7$  and  $\nu_7 + \nu_8$  type a combination bands of cis-C<sub>2</sub>H<sub>2</sub>D at 1816 and 1599 cm<sup>-1</sup>, resp., were recorded with a resoln. of ca. 0.03 cm<sup>-1</sup>. Both bands are locally perturbed by a no. of Coriolis resonances with nearby binary combination levels. From a model taking into account Coriolis interactions with  $\nu_6 + \nu_8$  and  $\nu_6 +$

$\nu_7$ , spectroscopic const. were obtained for  $\nu_4 + \nu_7$ . For the anal. of  $\nu_7 + \nu_8$  Coriolis resonance with  $\nu_2$  was included. None of the perturbing levels were obad. However, from the perturbation effect alone the band centers for  $\nu_6 + \nu_8$ ,  $\nu_6 + \nu_7$ , and  $\nu_2$  were located.

(Pi)

C.A. 1988, 108, N 24

$C_2 H_2 Dy$  1988

Kim K.C., Krohn B.J.  
et al.

( $P_3$ ) J. Mol. Spectrosc. 1988,  
132 (1), 207-15.

(cen.  $PtF_6^-$ ;  $\ddot{v}$ )

DCCCCH

On 3/10/83

1988

110: 104072f Microwave spectrum of diacetylene-d in the ground and excited vibrational states. Tanaka, Keiichi; Kato, Kinya; Tanaka, Takehiko. (Fac. Sci., Kyushu Univ. 33, Fukuoka, Japan 812). *J. Mol. Spectrosc.* 1988, 131(2), 272-7 (Eng). Rotational spectra of DCCCCH, which is nonpolar in the equil. configuration, were obsd. with a source-modulated microwave spectrometer. Rotational transitions in the ground,  $v_8$ , and  $v_9$  vibrational states were newly identified, where  $v_8$  and  $v_9$  denote the C...C-D bending and lowest skeletal bending modes, resp. Small dipole moments,  $0.0115 \pm 0.0012$  D for the ground state and  $0.030 \pm 0.008$  D for the  $v_8$  state, were obtained from the intensity measurement. The rotational and centrifugal distortion consts. for the ground state are  $4084.4546 \pm 0.0018$  MHz and  $0.402 \pm 0.012$  kHz, resp., where the uncertainties correspond to  $3\sigma$ .

My checkm

C.A. 1989, 110, n12

РСССР

ОТ 31043 1988

10 Б1316. Микроволновый спектр диацетилена-*d* в основном и возбужденных колебательных состояниях. Microwave spectrum of diacetylene-*d* in the ground and excited vibrational states / Tanaka K., Kato K., Tanaka T. // J. Mol. Spectrosc.— 1988.— 131, № 2.— С. 272—277.— Англ.

На усовершенствованном микроволновом (МВ) спектрометре с модуляцией источника в обл. частот 40—82 ГГц с точностью 10 кГц при чувствительности  $2 \cdot 10^{-8}$  см $^{-1}$  измерен вращат. спектр диацетилен-*d*, DCCCCH, в основном и двух возбужденных колебат. состояниях. Анализ МВ-спектра выполнен в приближении модели линейной молекулы с учетом вклада колебат. углового момента, квартичного центробежного искажения и *l*-удвоения для П (*l*=1) состояний. Возбужденные колебат. состояния отнесены к деф. кол.  $\nu_8$  группы C≡C—D и к низшему деф. кол. состава молекулы  $\nu_9$ . Для основного и возбужденных  $\nu_8$  и  $\nu_9$  колебат. состояний, соотв., определены вращат. постоянные  $B=4084,4546(18)$ ,  $4089,6490(51)$  и  $4095,6938(52)$  МГц и дипольные моменты  $\mu=0,0115(12)$ ,  $0,030(8)$  и  $0,010(5)$  D.

С. Н. Мурзин

ЧВ Спектр

11.11.

X. 1989, N 10

$C_3H_2D^+$

110: 239282v Theoretical study of anharmonicity in the vibrational spectra of the cyclopropenyl cation and its deuterated analogs. Xie, Yaoming; Boggs, James E. (Dep. Chem., Univ. Texas, Austin, TX 78712 USA). *J. Chem. Phys.* 1989, 90(8), 4320-9 (Eng). Completely theor. calcns. for the structure, anharmonic force field up to partial 6th order, and vibrational frequencies of  $C_3H_6^+$ ,  $C_3H_2D^+$ ,  $C_3HD_2^+$ , and  $C_3D_3^+$  were carried out. The procedure included ab initio calcn. of the vibrational energy surface at the 6-311 G\* + local MP4(SDQ) level and anharmonic vibrational configuration-interaction (CI) calcn. using a variational expansion in a large, well-selected harmonic oscillator basis. The geometric parameters of  $C_3H_6^+$  are optimized as 1.363 $\text{\AA}$  for the C-C bond length and 1.0795 $\text{\AA}$  for the C-H bond length. The fundamental vibrational frequencies of  $C_3H_6^+$  are 3193.5, 1622.1, 1015.5, 3148.8, 1297.5, 916.2, 756.8, and 1002.7  $\text{cm}^{-1}$ ; those of  $C_3H_2D^+$ , (3190.6, 3144.8), 2405.3, 1274.7, 913.4, 1001.2, 3146.3, 1295.2, 995.4, 717.8, 916.7 and 663.6  $\text{cm}^{-1}$ ; those of  $C_3HD_2^+$ , are 3164.7, 2434.0 (1541.6, 1506.8), 1276.0, 672.1, 824.3, 2361.6, 1261.3, 9667, 762.3, 960.3, and 603.9  $\text{cm}^{-1}$ ; and those of  $C_3D_3^+$  are (2536.7, 2451.8), 1487.4, 837.5, 2358.1, 1256.9, 671.9, 562.6, and 823.5  $\text{cm}^{-1}$ . The frequencies enclosed in parentheses are for Fermi resonance pairs, the prediction of which is handled automatically by this procedure. The theor. vibrational frequencies agree with the exptl. data available from both Raman and IR spectra with 0.5% relative mean deviation. This agreement is as good as the exptl. data allow, since the expts. were carried out in condensed phases and in the presence of counterions. The 1st

copy by

Mr. N.C.M.,

N.C.M. - APR 1989

Di

(13)

C.A. 1989, 110,  
N 26

overtone vibrational frequencies of C<sub>3</sub>H<sub>3</sub><sup>+</sup> are also predicted. The general applicability and present limitations of the method are discussed.



On. 32415

1989

Xie Yaoming, Boggs  
James E.

Сингкнуп,

Clap. nočni.,

nočni. a H2apn.,

Vi;

J. Chem. Phys.

1989, 90(8),



4320-9.

(eepr.  $C_3H_2D^+$ ; I)

$C_4H_2D_4$  1989

Zerbetto Francesco,

Zgierski Marek Z.

$1Sg \rightarrow 1Bu$ , Chem. Phys. Lett. 1989,  
meop.  
pacrem 154 (6), 515-520.

(C<sub>4</sub>H<sub>6</sub>; III)

$C_4H_4D_2$  1989

Zerbetto Francesco,  
Zgierski Marek Z.

$1B_3g > 1B_4u$ ,

meop.  
paerem

Chem. Phys. Lett.

1989, 157(6), 515-520.

(cu.  $C_4H_6$ ;  $\bar{II}$ )

$\text{CH}_2\text{D}_2$

1990

Makushkin Yu. S.,  
Ulenikov O. N., et al.

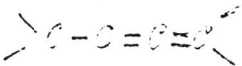
et.al.

J. Phys. B. 1990. 23,  
N.Y.C. 1149- 1163.

(see.  $\text{CH}_4$ ; II)

C-D-H

1990



113: S7233b Overtone spectroscopy of cis-propene-1,2-d<sub>2</sub>. Baylor, Lewis C.; Weitz, Eric (Dep. Chem., Northwestern Univ., Evanston, IL 60208 USA). *J. Phys. Chem.* 1990, 94(16), 6209-20 (Eng). Vibrational spectra of the terminal cis and Me C-H stretches of cis-propene-1,2-d<sub>2</sub> were obtained for vibrational levels ( $v$ ) one through seven. The C-D stretches were obsd. up to  $v = 3$ . For comparison, spectra for all the C-H stretching modes of propene were obtained from the  $v = 1$  to the  $v = 7$  level. Lower level overtones were obtained by std. IR techniques, and higher absorptions (>12000 cm<sup>-1</sup>) were obtained by intracavity dye laser photoacoustic spectroscopy. The C-H stretches in both mols. were analyzed in terms of the local-mode model, and harmonic frequencies ( $\omega_h$ ) and anharmonicities ( $X_{\alpha}$ ) were calcd. In cis-propene-1,2-d<sub>2</sub>, these values are (cis terminal olefinic C-H stretch)  $\omega_c = 3076 \pm 28$  cm<sup>-1</sup> and  $X_{cc} = -55 \pm 5$  cm<sup>-1</sup>, (in-plane Me C-H stretch)  $\omega_s = 3020 \pm 17$  cm<sup>-1</sup> and  $X_{ss} = -58 \pm 4$  cm<sup>-1</sup>, and (out-of-plane Me C-H stretch)  $\omega_h = 2975 \pm$

Konferenz  
C&TMP, D.

C.A. 1990, 113, N&10

$17 \text{ cm}^{-1}$  and  $X_{1b} = -60 \pm 4 \text{ cm}^{-1}$ . The  $\omega$ 's and  $X_{ii}$ 's for propene are in good agreement with prior work. Behavior characteristic of the normal-mode description of vibrations was obsd. for all C-H stretching modes at  $v = 1$  and 2, whereas local-mode behavior prevails at  $v = 3$  and higher. Line widths were measured for all C-H stretching modes for  $v = 3.7$ . Broadening of the Me C-H absorptions in propene and *cis*-propene- $1,2-d_2$  was obsd. at  $v = 6$  and 7. Possible resonances that lead to efficient intramol. energy transfer and the obsd. line broadening in both mols. are discussed. The role of mol. geometry in the difference in behavior of the olefinic vs. Me C-H line widths is considered. Peak absorption cross sections were measured in both mols.

МССОД

№н. 35542

1991

Д СООК

баскалов д.л., дюбко с.п.

серома с.в.,

м.н.

дл. астрон. спектроскопии,  
1991, 54, N 5, 725-728

$\text{CH}_3\text{D}^+$  [OM. 36426]

1991

Lambourd, Kosslein M., Jagod Mary -  
Uk chelijfrances, et al.

1991,  
Astrophys. J., 382, N1,  
Laboratory 51-dB3-  
Infrared  
spectra of  $\text{CH}_3\text{D}^+$  and  $\text{HCCD}^+$

and predicted microwave transitions.

$\text{CHD}_2$

Nestor S.F., Liu X.,  
et al.

1991

Ref.  
no. 20

J. Chem. Phys. 1991,  
95(12), 8793-802.

(all. CIPs; 

$\text{CH}_2\text{R}$

1991

Westre S.F., Liu X.,  
et al.

Cell  
wcm

J. Chem. Phys. 1991,  
95(12), 8793 - 802.

(all- $\text{CH}_3$ ; III)

CHD<sub>3</sub>

1992

116: 94440g Fourier-transform intracavity laser absorption spectra of the  $6\pi$  band of methane-d<sub>3</sub>. Domingo, C.; Del Olmo, A.; Escribano, R.; Bermejo, D.; Orza, J. M. (Inst. Estruct. Mater., Consejo Super. Invest. Cient., Madrid, Spain 28006). *J. Chem. Phys.* 1992, 96(2), 972-5 (Eng). Absorption spectra in the 16,100-16,320 cm<sup>-1</sup> region were recorded for gaseous CHD<sub>3</sub> at room temp. with 0.12 cm<sup>-1</sup> resoln. using a Fourier transform intracavity laser absorption technique. Two bands belonging to the  $N = 6$  polyad, 6<sub>1</sub> ( $6\pi_1$ ) and 6<sub>2</sub> ( $5\pi_1 + 2\pi_3$ ), were identified and a rotational anal. for 6<sub>1</sub> including transitions up to  $J = 13$ , verified by means of ground-state combination differences, is reported. Comparison with rotational consts. obtained from photoacoustic laser spectra at 77 K is discussed.

transformation

C.A. 1992, 116, N 10

*CH<sub>2</sub>D<sup>+</sup>*  
*CHD<sub>2</sub><sup>+</sup>*

9 Б1132. Инфракрасные спектры полос  $\nu_1$  и  $\nu_4$   $\text{CH}_2\text{D}^+$   
и полосы  $\nu_1$ ,  $\text{CHD}_2^+$ . Infrared spectra of the  $\nu_1$  and  $\nu_4$  bands  
of  $\text{CH}_2\text{D}^+$  and the  $\nu_1$  band of  $\text{CHD}_2^+$  /Jagod M.-F., Rösslein  
M., Gabrys C. M., Oka T. //47th Ohio State Univ. Int.  
Symp. Mol. Spectrosc., Columbus, Ohio, June 15—19, 1992  
—Columbus (Ohio), 1992.—C. 78.—Англ.

Радиоастрономическое определение метильного катиона  $\text{CH}_3^+$  затруднено из-за его высокой симметрии и нулевого дипольного момента. Чтобы получить данные о частотах, сделана попытка определения спектров дейтерированных катионов  $\text{CH}_2\text{D}^+$  и  $\text{CHD}_2^+$ , имеющих дипольные моменты 0,329 и 0,310 Д соотв. Оба катиона получены при пропускании электрич. разряда с частотой 6 кГц при токе ~150 мА через газ. смесь  $\text{CD}_4:\text{CH}_4:\text{H}_2:\text{He}=120:10:100:$   
:7000 мТорр. Проведен анализ вращат. структуры полос  $\nu_1$  и  $\nu_4$  в ИК-спектре  $\text{CH}_2\text{D}^+$  и полосы  $\nu_1$  в ИК-спектре  $\text{CHD}_2^+$ . Определены начала полос:  $\nu_1$  3004,7650(5)  $\text{см}^{-1}$   
 $\nu_4$  3105,8406(6)  $\text{см}^{-1}$  для  $\text{CH}_2\text{D}^+$  и  $\nu_1$  3056,1694(8)  $\text{см}^{-1}$   
для  $\text{CHD}_2^+$ . Рассчитаны инерц. дефекты, постоянные центробежного искажения и энергии вращат. переходов.

*ll.1*

(4) 18

X. 1993, N 9

*CHD<sub>2</sub><sup>+</sup>*

И. А. Гарбузова

1992

116: 244131y Carbo-ions. Part VII. Infrared spectroscopy of carbo-ions: the  $\nu_1$  and  $\nu_4$  bands of methyllium ( $\text{CH}_2\text{D}^+$ ), and the  $\nu_1$  band of  $\text{CHD}_2^+$ . Jagod, Mary Frances; Roesslein, Matthias; Gabrys, Charles M.; Oka, Takeshi (Dep. Chem., Univ. Chicago, Chicago, IL 60637-1403 USA). *J. Mol. Spectrosc.* 1992, 153(1-2), 66-79 (Eng). The  $\nu_1$  and  $\nu_4$  bands of  $\text{CH}_2\text{D}^+$  and the  $\nu_1$  band of  $\text{CHD}_2^+$  were obsd. and analyzed. Both species were formed concurrently in a gas mixt. of  $\text{CD}_4:\text{CH}_4:\text{H}_2:\text{He}:120:10:100:7000$  mtorr discharged at 6 kHz a.c. with  $\sim 150$  mA in a multiple-inlet multiple-outlet, liq.-nitrogen-cooled cell. Their IR vibration-rotation spectra were recorded with a difference-frequency spectrometer and detected by velocity modulation with unidirectional multipassing and noise subtraction of the probing IR radiation. The transitions of each band were fitted sep. to a Watson A-reduced Hamiltonian to det. the rotational and quartic centrifugal distortion consts. The detd. band origins (in  $\text{cm}^{-1}$ ) are  $\nu_1 = 3004.7650(5)$  and  $\nu_4 = 3105.8406(6)$  for  $\text{CH}_2\text{D}^+$  and  $\nu_1 = 3056.1694(8)$  for  $\text{CHD}_2^+$ . The inertial defects  $\Delta$ , centrifugal distortion consts., and rotational transitions were calcd. and are given for these two species.

( $\nu_1, \nu_4$ )

C.A. 1992, 116, N 24

C249D

1992

Tensanari M., Abbouti A. J.,  
et al.,

47th Ohio State Univ. Int.  
Symp. Mol. Spectrosc.  
Columbus, Ohio, June  
15-19, 1992, - Columbus  
(Ohio), 1992, c. 140

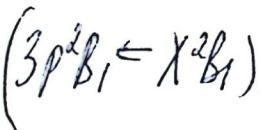
Part X, N16, 1993,

1651164

1993



118: 201418w Electronic spectra of the heteroisotopic methyl-d and methyl-d<sub>2</sub> radicals by resonance enhanced multiphoton ionization. Brum, Jeffrey L.; Johnson, Russell D., III; Hudgens, Jeffrey W. (Natl. Inst. Stand. Technol., Gaithersburg, MD 20899 USA). *J. Chem. Phys.* 1993, 98(5), 3732-6 (Eng). The 3p<sup>2</sup>B<sub>1</sub> ← X<sup>2</sup>B<sub>1</sub> bands of CH<sub>2</sub>D and CHD<sub>2</sub> radicals were obsd. between 305 and 335 nm by mass resolved, 2 + 1 resonance enhanced multiphoton ionization spectroscopy (REMPI). Spectroscopic consts. were found for the 3p<sup>2</sup>B<sub>1</sub> Rydberg state of the CH<sub>2</sub>D radical ( $\nu_{00} = 59,940 \text{ cm}^{-1}$ ,  $\nu_{1\alpha_1}$  CH<sub>2</sub> stretch = 2995 cm<sup>-1</sup>,  $\nu_{2\alpha_1}$  CD stretch = 2220 cm<sup>-1</sup>,  $\nu_{4b_1}$  out-of-plane large amplitude (OPLA) = 1260 cm<sup>-1</sup>,  $\nu_{5b_2}$  CH<sub>2</sub> asym. stretch = 3055 cm<sup>-1</sup>,  $\nu_{6b_2}$  CD bend = 1115 cm<sup>-1</sup>) and of the CHD<sub>2</sub> radical ( $\nu_{00} = 59,920 \text{ cm}^{-1}$ ,  $\nu_{1\alpha_1}$  CH stretch = 3040 cm<sup>-1</sup>,  $\nu_{2\alpha_1}$  CD<sub>2</sub> stretch = 2150 cm<sup>-1</sup>,  $\nu_{4b_1}$  OPLA = 1165 cm<sup>-1</sup>,  $\nu_{6b_2}$  CH bend 1210 cm<sup>-1</sup>). Vibrational frequencies calcd. by ab initio theory agree well with the exptl. data.



C.A. 1993, 118, N20

$\text{CH}_3\text{CD}_3$

1993

118: 222138v Millimeter-wave spectrum of 1,1,1-trideuteroethane.  
Cazzoli, G.; Degli Esposti, C.; Nivellini, G. D.; Tullini, F. (Dip. Chim. "G. Ciamician", Univ. Bologna, 40126 Bologna, Italy). *J. Mol. Spectrosc.* 1993, 159(1), 279-81 (Eng). An accurate centrifugal distortion anal. was undertaken for the vibrational ground state of  $\text{CH}_3\text{CD}_3$  and  ${}^3\text{CH}_3\text{CD}_3$ , for which IR band analyses are in progress.

(MM CNEKMP)

C. A. 1993, 118, N22

$\text{CH}_2\text{DCH}_2\text{D}$ , II 9P

1993

119: 213121c The conformational problem studied through the torsional Raman spectra of ethane isotopomers ( $\text{CH}_3\text{DCH}_2\text{D}$ ,  $\text{CHD}_2\text{CHD}_2$ , and  $\text{CH}_2\text{DCHD}_2$ ). Fernandez-Sanchez, J. M.; Gomez, P. C.; Montero, S. (Inst. Estruct. Mater., CSIC, Madrid, Spain 28006). *J. Chem. Phys.* 1993, 99(3), 1575-90 (Eng). The torsional Raman spectra of  $\text{CH}_2\text{DCH}_2\text{D}$ ,  $\text{CHD}_2\text{CHD}_2$ , and  $\text{CH}_2\text{DCHD}_2$ , recorded with an improved conventional Raman spectrometer, are interpreted using an exact rotational-torsional Hamiltonian. The kinetic and potential operators of this Hamiltonian are discussed, showing that the term responsible for the existence of 2 distinguishable conformers is of kinetic nature. For  $\text{CH}_3\text{DCH}_2\text{D}$  and  $\text{CHD}_2\text{CHD}_2$ , the rotational and the torsional motions can be sepd. by an appropriate choice of the mol. axis system. The wavenos. and intensities of both torsional Raman spectra are reproduced within the limits of the expt. with the following effective potential parameters:  $\text{CH}_3\text{DCH}_2\text{D}$ ,  $V_3 = 1002 \text{ cm}^{-1}$ ,  $V_6 = 6.0 \text{ cm}^{-1}$ ;  $\text{CHD}_2\text{CHD}_2$ ,  $V_3 = 995 \text{ cm}^{-1}$ ,  $V_6 = 7.3 \text{ cm}^{-1}$ . For  $\text{CH}_2\text{DCHD}_2$ , only partially tractable in the present approach, an approx. est. of  $V_3 \approx 995 \text{ cm}^{-1}$  was obtained. Besides the quant. interpretation of the torsional spectra, a discussion of the main facts of the conformational problem in connection to the spectroscopic observation is presented. The described induced conformational transitions may contribute to the understanding of the elementary photoisomerization processes in mols.  $\text{AX}_2\text{Y}$ - $\text{AX}_2\text{Y}'$ .

(Vi)

C.A. 1993, 119, 1420

*CD<sub>3</sub>CCH*

1993

(2 Pg)

118: 69214v The  $2\nu_9$  band of propyne-d<sub>3</sub>. Singh, K.; Rajappan, Geetha; Job, V. A.; Kartha, V. B.; Weber, A.; Olson, W. B. (Spectrosc. Div., Bhabha At. Res. Cent., Bombay, 400085 India). *J. Mol. Spectrosc.* 1993, 157(2), 467-78 (Eng). High-resoln. Fourier transform spectra of CD<sub>3</sub>CCH at room temp. and at 195 K were recorded in the region of the  $2\nu_9$  band (1225-1285 cm<sup>-1</sup>) at an apodized resoln. of 0.004 cm<sup>-1</sup>. Approx. 1000 vibration-rotation transitions in the P and R branches of  $2\nu_9$  (A<sub>1</sub>) were fitted with a std. deviation of 0.00035 cm<sup>-1</sup>. Two vibration-rotation interactions, a Fermi resonance with ( $\nu_9 + 2\nu_{10}$ )<sup>+1</sup> (A<sub>1</sub>), and a weak xy-Coriolis interaction with ( $\nu_9 + 2\nu_{10}$ )<sup>+1</sup> (E), were identified and analyzed. The parameters of the  $2\nu_9$  (A<sub>1</sub>) state and some of those of the interacting states were detd.

C.A.1993, 118, N 8

$C_5H_4D$   
 $C_5HD_4$

1993

118: 179302e High-resolution laser spectroscopy of asymmetrically deuterated cyclopentadienyl radicals: a study of vibronic degeneracy resolution and Jahn-Teller distortion. Yu. Lian; Cullin, David W.; Williamson, James M.; Miller, Terry A. (Dep. Chem., Ohio State Univ., Columbus, OH 43210 USA). *J. Chem. Phys.* 1993, 98(4), 2682-98 (Eng). The rotationally resolved, laser induced fluorescence, excitation spectra of the partially deuterated cyclopentadienyl radicals,  $C_5H_4D$  and  $C_5HD_4$ , were obsd. at low temp. in a supersonic free jet expansion. The obsd. electronic transition in the UV region corresponds to the  $\tilde{A}^2A'' \rightarrow X^2E'$  transition in the sym. cyclopentadienyl isotopomers with  $D_{3h}$  symmetry. In the reduced  $C_2$  symmetry of the  $C_5HD_4$  and  $C_5H_4D$  isotopomers, this electricie transition splits into 2 distinct vibronic bands, sep'd. by  $\sim 9$   $\text{cm}^{-1}$ , which arise from the 2 vibronic components  $X_1$  and  $X_2$  into which the  $X$  state is resolved when the symmetry is lowered. In  $C_5H_4D$  the ground  $X_1$  state has  $:A_2$  symmetry and a permanently distorted, elongated allyl-like structure while the low-lying  $X_2$  state has  $:B_2$  symmetry and a compressed dienelike structure. The symmetries of the energy levels and the distortions are reversed for the  $C_5HD_4$  species. A detailed theor. model is developed to describe the splitting and the rotational structure of the  $X_1$  and  $X_2$  states. Application of this model yields a precise value for the alternation of

layerless  
optics

C.A. 1993, 118, N18

the C-C bond lengths in the distorted structures. This value is the same as that describing the dynamically pseudorotating, Jahn-Teller distorted structures in the  $D_{3h}$  isotopomers. Addnl., the theory explains anomalous values of the obsd. inertial defects and relates them to phys. meaningful quantities for all the isotopomers in both their  $X_1$  and  $X_2$  states. The results are compared to previous exptl. work and ab initio calcns. on the cyclopentadienyl radical.

*CH<sub>3</sub> CCD*

*1994*

122: 19209j Perturbations in the  $2\nu_9$  and  $\nu_8$  bands of propyne-d.  
Job, V. A.; Kartha, S. B.; Sule, N. S.; Kartha, V. B.; Weber, A.;  
Olson, W. B. (Spectroscopy Div., Bhabha At. Res. Cent., Bombay,  
400 085 India). *J. Mol. Spectrosc.* 1994, 168(1), 166-84 (Eng.).  
The anal. of the complex rotational structures of the  $2\nu_9$  parallel  
band and the  $\nu_8$  perpendicular band of CH<sub>3</sub>CCD is presented. All  
the levels of  $2\nu_9(a_1)$  and  $\nu_8(E)$  states are perturbed to varying degrees.  
A large no. of off-diagon perturbations connecting a quartet of  
interating states, which included the E component of  $2\nu_9$  and the  
(A<sub>1</sub>,A<sub>2</sub>) component of ( $2\nu_{10} + \nu_9$ ), account for the obsd. complex  
pattern. A few transitions of the type  $\Delta K = +2$  to the  $2\nu_9(E)$  state  
and  $\Delta K = 0$  to the ( $2\nu_{10} + \nu_9$ )(A<sub>1</sub> + A<sub>2</sub>) state have also been  
identified. The major interactions are Fermi resonance between  
 $2\nu_9(A_1)$  and the lower component of ( $2\nu_{10} + \nu_9$ )(A<sub>1</sub>, A<sub>2</sub>), Fermi  
resonance between  $2\nu_9(E)$  and  $\nu_8(E)$ , ±2, ±2 l-type resonance  
between  $2\nu_9(A_1)$  and  $2\nu_9(E)$ , and xy-Coriolis interaction between  
 $2\nu_9(A_1)$  and  $\nu_8(E)$ . Parameters of the four states and the interaction  
parameters have been detd.

*(Dc)*

C.A. 1995, 122, N2

*C<sub>6</sub>H<sub>3</sub>D<sub>3</sub>*

1995

123: 43334n Raman and CARS spectra of sym-trideuterobenzene in the gaseous phase. Zeindl, S.; Sailer, K.; Bauer, F.; Schroetter, H. W.; Ruoff, A. (Sektion Physik der LMU Muenchen, Schellingstrasse 4, D-80799 Munchen, Germany). *J. Mol. Struct.* 1995, 350(3), 185-94 (Eng). The Raman spectrum of sym-trideuterobenzene ( $1,3,5-\text{C}_6\text{H}_3\text{D}_3$ ) in the gaseous phase was recorded at its vapor pressure at room temp. In addn. to the  $4\text{a}'_1$ , four of the  $7\text{e}'$  and two of the  $3\text{e}''$  fundamentals and some hot bands, 55 overtone and combination vibrations were obsd. and 30 of them could be assigned. Depolarization ratio measurements showed that most of the 2nd-order bands were polarized. The Q-branches of the  $\nu_1$  and  $\nu_2$  vibrations could be resolved into subbands by continuous wave CARS spectroscopy. Together with earlier results on benzene and hexadeuterobenzene, the 2nd-order Raman spectra of benzene and its sym. deuterated derivs. are now documented.

(KP, Pi)

C. A. 1995, 123 n4

*CH<sub>3</sub>CCD*

*1997*

128: 146820a The C-D stretch of monodeuterated propargyl radical ( $\text{CH}_2\text{CCD}$ ). Eckhoff, Wade C.; Miller, Charles E.; Billera, Charles F.; Engel, Paul S.; Curl, R. F. (Chemistry Department, Rice Quantum Institute, Rice University, Houston, TX 77005 USA). *J. Mol. Spectrosc.* 1997, 186(1), 193–202 (Eng), Academic Press. The high-resoln. IR spectrum of the monodeuterated propargyl radical ( $\text{CH}_2\text{CCD}$ ) was obtained in the region of its acetylenic C-D stretch. Lower state rotational consts. were detd. for the mol. The upper state was significantly perturbed making the upper state rotational consts. detd. much more uncertain.

*UK, D<sub>C-D</sub>*

*C.A. 1998, 128, N12*

6458

1997

128: 140407z Excited vibrational states of benzene: high resolution FTIR spectra and analysis of some out-of-plane vibrational fundamentals of  $C_6H_5D$ . Snels, Marcel; Beil, Andreas; Hollenstein, Hans; Quack, Martin (Ist. Mater. Speciali, Zona Industriale Tito Scalo, I-85050 Potenza, Italy). *Chem. Phys.* 1997, 225(1-3), 107-130 (Eng), Elsevier Science B.V.. We have measured the IR spectra of the  $\nu_4$ ,  $\nu_{10b}$  and  $\nu_{11}$  fundamental bands of  $C_6H_5D$  in the range 540-830  $cm^{-1}$  with an instrumental bandwidth of 0.0024  $cm^{-1}$  (unapodized FWHM) using a Bomem DA 002 Interferometric Fourier Transform spectrometer. The rotational anal. for  $\nu_4$  yields ground state consts. by combining ground state combination differences and published microwave data. Excited state consts. for the  $\nu_4$  level were obtained up to quartic terms, using Watson's A-redn. Hamiltonian in the III<sup>r</sup> representation, resulting in a band center  $\bar{\nu}_4^0 = 697.593\text{ cm}^{-1}$ . A partial anal. is presented for the  $\nu_{10b}$  fundamental ( $\bar{\nu}_{10b}^0 = 778.027\text{ cm}^{-1}$ ), which appears to be locally perturbed by the  $\nu_{16a} + \nu_{16b}$  combination band. The very strong  $\nu_{11}$  band is strongly perturbed, most probably by  $\nu_{6a}$  and  $\nu_{6b}$ . The results are discussed in relation to comparison with accurate ab initio electronic structure calcns. including non Born-Oppenheimer effects as well as potential applications with isotope tracer detection and IR laser chem.

FTIR -  
Quack, Di

CA. 1998,  
128, N12